

М.А. Воронцов, А.В. Разгулин

СИНТЕЗ ФОКУСАТОРОВ ИЗЛУЧЕНИЯ В ПЛОСКУЮ ОБЛАСТЬ В УСЛОВИЯХ НЕЛИНЕЙНЫХ ИСКАЖЕНИЙ СВЕТОВЫХ ПУЧКОВ

Для эффективного решения целого ряда задач лазерной технологии необходимо обеспечить вполне определенное пространственное распределение интенсивности излучения на поверхности обрабатываемой детали. В какой-то мере эти задачи могут быть решены с помощью элементов плоской оптики (фокусаторов излучения) [1, 2].

При расчете фокусаторов обычно предполагается, что среда распространения излучения является линейной. В то же время в практических системах распространение лазерного излучения часто сопровождается нелинейными эффектами, среди которых основную роль играет тепловое самовоздействие световых пучков [3]. Тепловое самовоздействие существенным образом изменяет характеристики излучения, приводит к значительным искажениям амплитудно-фазового профиля пучка. Заметим, что существующие методы расчета фокусаторов не позволяют учесть нелинейные искажения и внести соответствующие коррективы в фазовую функцию фокусатора.

В настоящей работе предложена методика расчета фокусаторов излучения в плоскую область в условиях сильных нелинейных искажений световых пучков.

Предположим, что световой пучок с начальным профилем интенсивности $I_0(x, y)$ распространяется в условиях стационарного теплового самовоздействия, обусловленного движением в поперечном направлении газового потока с постоянной скоростью v_0 . Такая ситуация возникает при использовании газовых струй, обдувающих поверхность обрабатываемой детали, или при сканировании пучка вдоль поверхности. Ставится задача расчета фазовой функции $u = u(x, y)$ фокусатора, обеспечивающего в условиях теплового самовоздействия получение заданного распределения интенсивности $I_{ЭТ.}(x, y)$ на расстоянии $z = z^0$ от фокусатора. Основой построения алгоритма решения задачи является градиентный метод минимизации функционала невязки

$$J(u) = \int_{\Omega} |I(x, y, z^0) - I_{ЭТ.}(x, y)|^2 dx dy.$$

Функция $I(x, y, z^0) = |A(x, y, z^0)|^2$ находится из решения задачи распространения излучения для некоторой оценки фазы $u(x, y)$. Для комплексной амплитуды поля $A(x, y, z)$ и отклонения $T(x, y, z)$ температуры среды от равновесного значения в приближении квазиоптики можно записать следующую систему уравнений:

$$2i \frac{\partial A}{\partial z} = \Delta_{\perp} A + RTA, \quad (1)$$

$$\frac{\partial T}{\partial x} = |A|^2, \quad (2)$$

где $\Delta_{\perp} = \partial^2 / \partial x^2 + \partial^2 / \partial y^2$ - оператор Лапласа по поперечным координатам. Соотношения (1)-(2) записаны в безразмерном виде. Переменные x, y нормированы на начальный радиус светового пучка a_0 , переменная z - на дифракционную длину $L_g = ka_0^2$, $k = 2\pi/\lambda$ - волновое число. Функции A и T нормированы на некоторые масштабные коэффициенты, явные выражения для которых приведены в [3]. Сила проявления нелинейных эффектов определяется величиной безразмерного коэффициента $|R|$ (в случае тепловой дефокусировки $R < 0$).

Уравнения (1)-(2) рассматриваются в ограниченной области $Q = \Omega \times (0, z^0)$ ($\Omega = (-D, D) \times (-D, D)$, $D=2$, $\partial\Omega$ - граница Ω) совместно с начальными и граничными условиями

$$A|_{\partial\Omega \times (0, z^0)} = 0, \quad T|_{x=-D} = 0, \quad (3)$$

$$A|_{z=0} = A_0(x, y) \exp\{iu(x, y)\}, \quad (4)$$

где начальный амплитудный профиль $A_0(x, y)$ задан, а фазовый фронт $u = u(x, y)$ является управлением.

Отметим, что при управлении начальной фазой оптического излучения необходимо учитывать наличие ограничений, связанных с техническими возможностями изготавливаемых фокусаторов. В ряде случаев эти ограничения можно учесть выбором фазы в виде разложения

$$u(x, y) = \sum_{n=1}^N u_n S_n(x, y), \quad (5)$$

где $S_n(x, y)$ - некоторая система функций, описывающая aberrации оптической системы, а коэффициенты $\{u_n\}_{n=1}^N$ являются управлениями. Таким образом приходим к задаче минимизации

$$J(\{u_n\}) \rightarrow \inf_{\{u_n\}},$$

для решения которой воспользуемся градиентным методом [4], состоящим в построении последовательности управлений $u^k = \{u_n^k\}_{n=1}^N$, минимизирующих функционал J , по правилу

$$u^{k+1} = u^k - \alpha_k \frac{\partial J}{\partial u}(u^k). \quad (6)$$

Шаг метода α_k выбирается из условия убывания функционала $J(u^{k+1}) < J(u^k)$, а градиент $\frac{\partial J}{\partial u} = \left\{ \frac{\partial J}{\partial u_n} \right\}_{n=1}^N$ функционала J с учетом (1)-(5) определяется из соотношений

$$\frac{\partial J}{\partial u_n} = -\text{Im} \int_{\Omega} \Psi(x, y, 0) A(x, y, 0) S_n(x, y) dx dy, \quad n = \overline{1, N}, \quad (7)$$

где $\Psi = \Psi(x, y, z)$ - решение задачи, "сопряженной" к (1)-(4)

$$2i \frac{\partial \Psi}{\partial z} + \Delta_{\perp} \Psi + R \Psi + 2i R A^* G = 0, \quad \Psi|_{\partial \Omega \times (0, z^0)} = 0,$$

$$\frac{\partial G}{\partial x} + \text{Im}(\Psi A) = 0, \quad G|_{x=D} = 0,$$

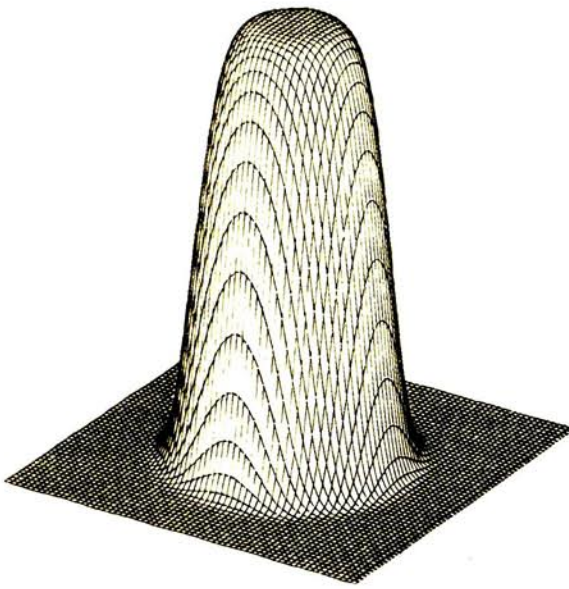
$$\Psi|_{z=z^0} = 4(I(x, y, z^0) - I_{\text{ЭТ}}(x, y)) A^*(x, y, z^0).$$

Остановимся на результатах численного моделирования. В качестве начальной амплитуды A_0 в (4) было взято гипергауссово распределение

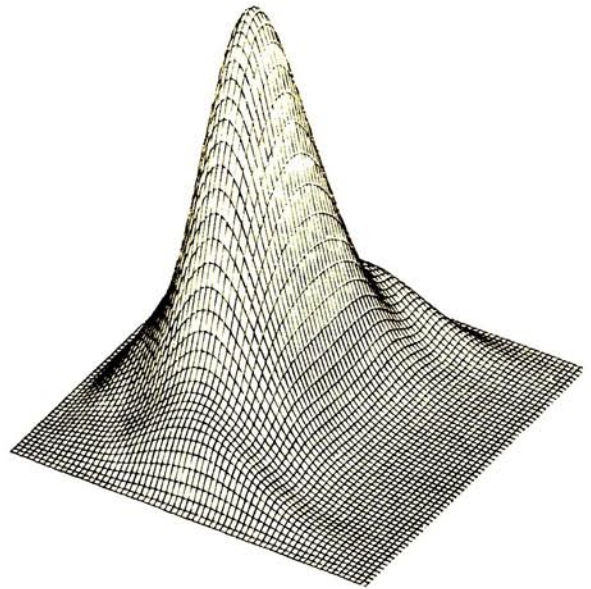
$$A_0(x, y) = \exp\left\{\frac{1}{2}(x^2 + y^2)^3\right\}. \quad (8)$$

Выбор $A_0(x, y)$ вида (8) обеспечивает выполнение граничного условия (3) с достаточной степенью точности. В разложении фазы $u(x, y)$ в (5) использовались полиномы Цернике $\{Z_n(x, y)\}$, $n = \overline{1, 21}$, которые представляют собой систему функций, ортогональных в единичном круге, и описывают классические aberrации оптических систем. Длина трассы $z^0 = 0,3$. Распределение интенсивности $I_{\text{ЭТ}}(x, y)$ в плоскости приемной апертуры при $z = z^0$ совпадало с $|A_0(x, y)|^2$, то есть требовалось найти фазовую функцию $u(x, y)$ фокусатора, обеспечивающего при $z = z^0$ наилучшую компенсацию искажений начального профиля интенсивности оптического излучения, распространяющегося в нелинейной среде.

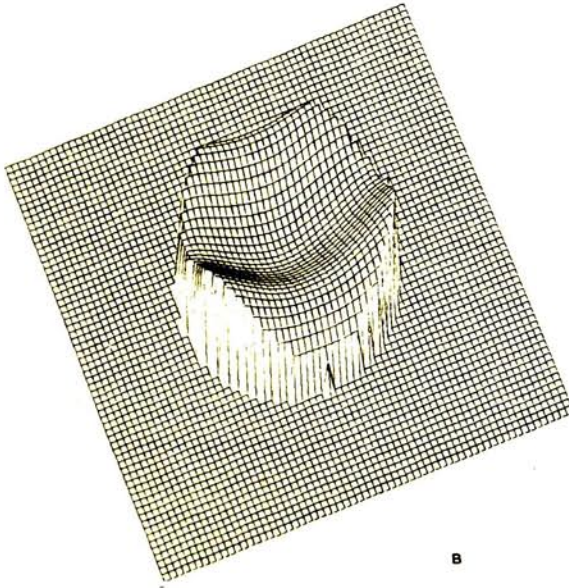
При численной реализации градиентного метода (6)-(7) для решения прямой и сопряженной задач были использованы нелинейные чисто неявные проекционно-разностные схемы, для разрешения которых на каждом расчетном слое по z использовались итерации в сочетании с алгоритмом быстрого преобразования Фурье. Вопросы устойчивости и сходимости этих схем рассматривались в [5]. Результаты оптимизации по методу (6)-(7) для случая $R = -20$ иллюстрируются на рисунке (а-г). На рис. а представлено начальное распределение интенсивности $|A_0(x, y)|^2$. Профили интенсивности $I(x, y, z^0)$ для начального приближения управления и после оптимизации изображены на рисунках б, г. При этом целевой функционал J уменьшился на 44%. Характерный профиль полученной фазовой функции в пределах единичного круга представлен на рис. в. Из рисунка видно, что при управлении фазой удается почти полностью скомпенсировать боковое смещение пучка, вызванное движением среды, и частично уменьшить его периферийные искажения. Полученные результаты свидетель-



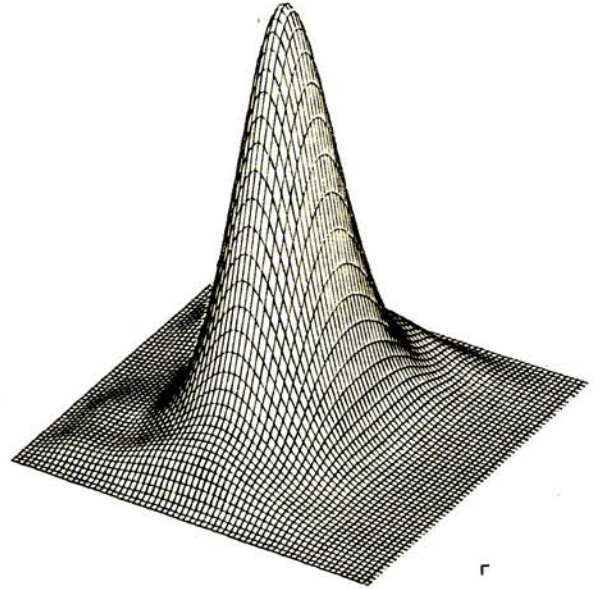
а



б



в



г

Фокусировка излучения в нелинейной среде: а - начальное распределение интенсивности ($z=0$); б - распределение интенсивности при $z=z^0$ для начального приближения управления; в - фазовый профиль формирующего элемента; г - распределение интенсивности при $z=z^0$ после оптимизации

ствуют об эффективности использования градиентных методов для расчета фокусаторов излучения в нелинейных средах.

ЛИТЕРАТУРА

1. Гончарский А.В., Сисакян И.Н., Степанов В.В. // ДАН СССР, 1984, т. 279, с. 68.
2. Воронцов М.А., Матвеев А.Н., Сивоконь В.П. // ДАН СССР, 1986, т. 290, с. 1354.
3. Воронцов М.А., Шмальгаузен В.И. Принципы адаптивной оптики. М.: Наука, 1985. 336 с.

4. В а с и л ь е в Ф.П. Методы решения экстремальных задач. М.: Наука, 1981, 400 с.

5. Р а з г у л и н А.В. Задача оптимального управления для одного нелинейного уравнения типа Шредингера // Актуальные проблемы моделирования и управления системами с распределенными параметрами: Всес. конф. (Тез. докл.). Киев, 1987, с. 34.
